

# Méthodes de réduction d'ordre pour un milieu poreux-élastique et couplage avec un système EDO

Thomas Saigre

dirigé by

Christophe Prud'homme

Cemosis – IRMA

26 août 2021

# Table des matières

Contexte du stage

Modélisation

Discrétisation spatiale : Méthode HDG

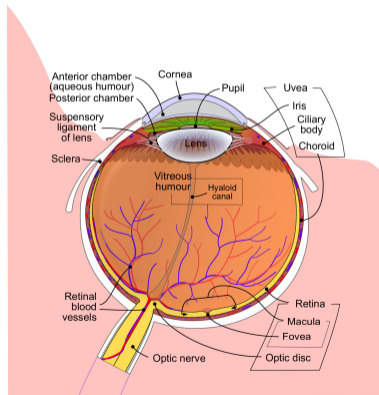
Discrétisation temporelle : Méthode de splitting

Reduced Order Methods

Conclusion

## Contexte

- ▶ Avec sa connexion spéciale avec le cerveau, l'œil permet d'avoir accès à des données cliniques de façon non invasive pour permettre le diagnostic de certaines maladies, dont des maladies neuro-dégénératives.



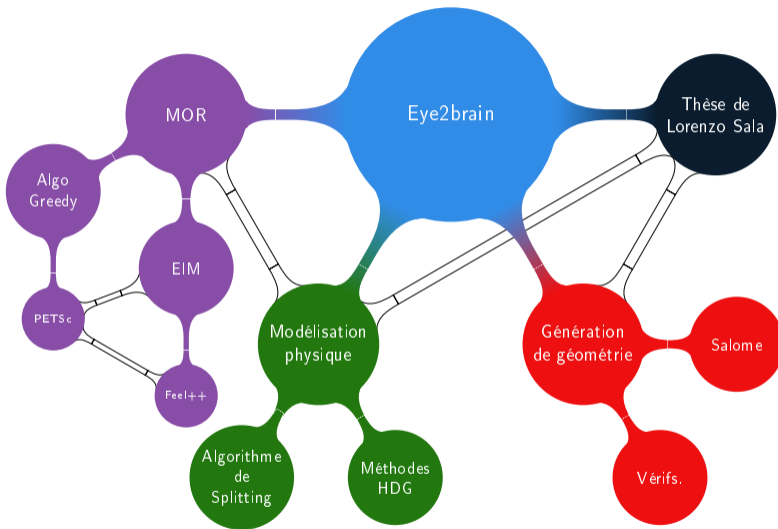
Rhcastilhos. And Jmarchn (de  
Wikipedia)

## Contexte

- ▶ Projet *Eye2brain* porté par la plateforme Cemosis : développer un jumeau numérique de l'œil pour permettre une interprétation assistée par ordinateur de données cliniques
- ▶ Thèse de Lorenzo Sala<sup>1</sup> : Modélisation mathématique et simulation de flux sanguin oculaires et leurs interactions. Trois niveaux d'architectures mathématiques ont été développés pour l'OMVS

---

<sup>1</sup>Lorenzo Sala. “Mathematical modelling and simulation of ocular blood flows and their interactions”. *Theses. Université de Strasbourg*, Sept. 2019. URL: <https://tel.archives-ouvertes.fr/tel-02284233>.



# Modélisation

## Géométrie

- ▶ Génération automatique de géométrie avec SALOME à partir d'un fichier STEP :

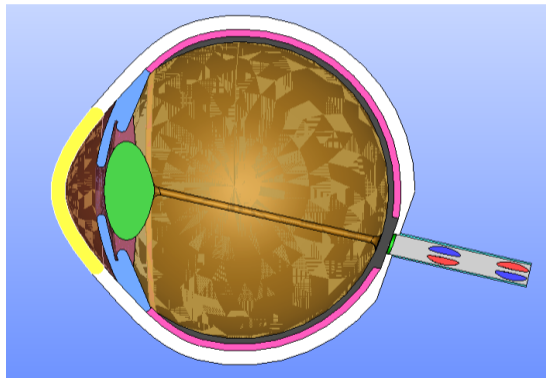


Figure 1: Géométrie de l'œil

## Géométrie

► Génération automatique de géométrie avec SALOME à partir d'un fichier STEP :

- Cornée
- Iris
- Sclera
- Lentille
- Ligament
- Humeur aqueuse [Che21]
- Humeur vitrée

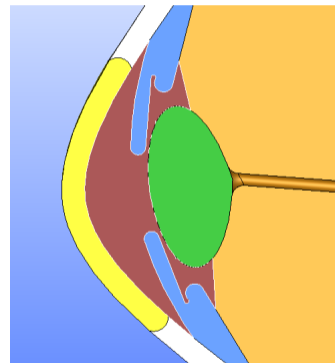


Figure 1: Avant de l'œil



# Géométrie

- Génération automatique de géométrie avec SALOME à partir d'un fichier STEP :

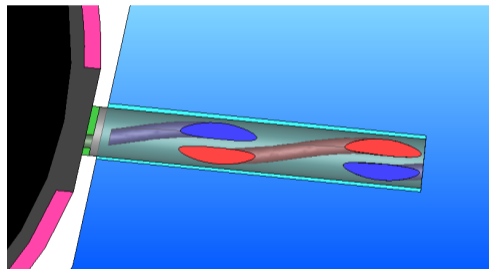
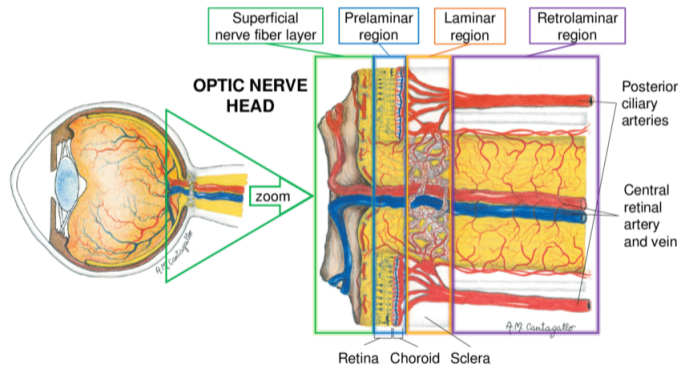


Figure 1: Arrière de l'œil

- Choroïde
- Rétine
- Lamina
- Artère
- Veine
- Nerf optique
- Pia

## Géométrie

- Génération automatique de géométrie avec SALOME à partir d'un fichier STEP :



From [Pra+16]

Figure 1: Anatomie de l'arrière de l'œil et réseau vasculaire

## Géométrie

- ▶ Génération automatique de géométrie avec SALOME à partir d'un fichier STEP :

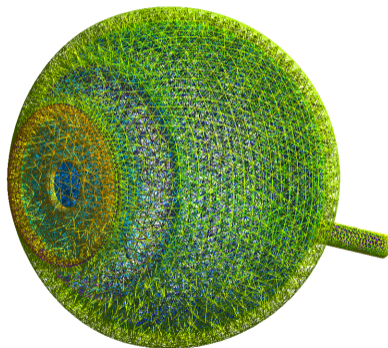
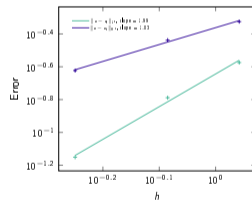


Figure 1: Maillage de la géométrie

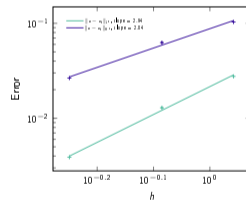
# Laplacian

$$\begin{cases} \Delta u = f & \text{in } \Omega \\ u = g & \text{on } \partial\Omega \end{cases} \quad (1)$$

- Application `feelpq_qs_laplacian_3d` : on configure la solution voulue  $u$ .  $f$  et  $g$  sont calculés par le programme.



(a) P1



(b) P2

Figure 2: Convergence of the errors, with  $u(x, y, z) = \cos(\pi x) \sin(\pi y) \cos(\pi z)$

# Validation

- ▶ Équation de la chaleur :

$$\rho_i C_{p,i} \frac{\partial T_i}{\partial t} = \nabla \cdot (k_i \nabla T_i) \quad (2)$$

where :

- ▶  $i$  indice du volume (Cornea, VitreousHumor...),
- ▶  $T_i$  [K] temperature dans le volume volume  $i$ ,
- ▶  $t$  [s] temps. On considère d'aborde un cas stationnaire, donc  $\frac{\partial T_i}{\partial t} = 0$ ,
- ▶  $k_i$  [ $\text{W m}^{-1} \text{K}^{-1}$ ] conductivité thermique,  $\rho_i$  [ $\text{kg m}^{-3}$ ] est la densité et  $C_{p,i}$  [ $\text{J kg}^{-1} \text{K}^{-1}$ ] la chaleur spécifique.

# Validation

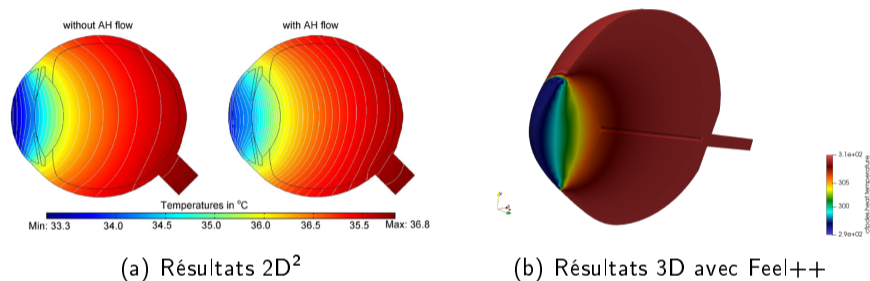
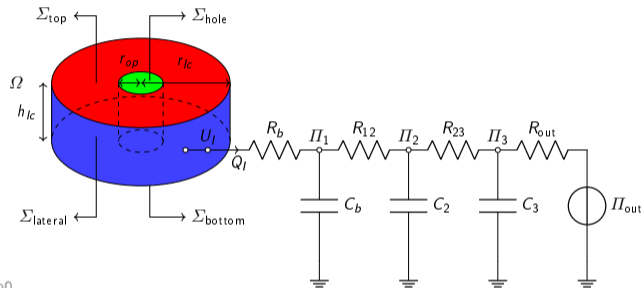


Figure 3: Comparaison des résultats

<sup>2</sup>Ean-Hin Ooi and Eddie Yin-Kwee Ng. "Simulation of aqueous humor hydrodynamics in human eye heat transfer". In: *Computers in Biology and Medicine* 38.2 (2008), pp. 252–262.

## Modélisation physique

- ▶ Étude de modèles d'EDP ( $3D+t$ ) couplée avec une EDO ( $0D+t$ )<sup>3</sup>



$$\Pi = \begin{bmatrix} \Pi_1 \\ \Pi_2 \\ \Pi_3 \end{bmatrix} \in \mathbb{R}^3$$

Figure 4: Système couplé de la lamina cribrosa

<sup>3</sup>Silvia Bertoluzza et al. "A HDG method for elliptic problems with integral boundary condition: Theory and Applications". 2021.

## Modélisation physique

- Étude de modèles d'EDP ( $3D+t$ ) couplée avec une EDO ( $0D+t$ )<sup>3</sup>

$$\left\{ \begin{array}{l} \underline{j} + \mathcal{K} \nabla p = 0 \quad \text{dans } \Omega \times ]0, T[ \\ \frac{\partial p}{\partial t} + \nabla \cdot \underline{j} = f \quad \text{dans } \Omega \times ]0, T[ \end{array} \right. \quad \frac{d\Pi}{dt} = \underline{\underline{A}}\Pi + \begin{bmatrix} Q_I \\ 0 \\ 0 \end{bmatrix} + \begin{bmatrix} 0 \\ 0 \\ \frac{\Pi_{out}}{R_{out}} \end{bmatrix} \quad (2)$$

Avec la condition d'interface (IBC)

terme source dû au couplage    terme source dû à  $\Pi_{out}$

$$\int_{\Sigma_{lateral}} \hat{\underline{j}} \cdot \underline{n} = Q_I \quad p \text{ est constant } \Sigma_{lateral} : U_I = p \text{ sur } \Sigma_{lateral} \quad (3)$$

Et les conditions aux bords :

$$p = p_{hole} \text{ sur } \Sigma_{hole} \quad \underline{j} \cdot \underline{n} = 0 \text{ sur } \Sigma_{top} \cup \Sigma_{bottom} \quad (4)$$

<sup>3</sup>Silvia Bertoluzza et al. "A HDG method for elliptic problems with integral boundary condition: Theory and Applications". 2021.



## Functional Mock-Up Unit

Pour simuler un modèle 0D : OpenModelica ou Dymola pour créer un modèle mo, que l'on peut simuler avec Feel++.

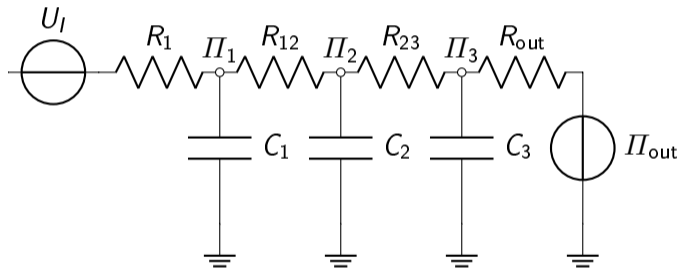


Figure 4: Circuit pour Dymola

## Functional Mock-Up Unit

Pour simuler un modèle 0D : OpenModelica ou Dymola pour créer un modèle mo, que l'on peut simuler avec Feel++.

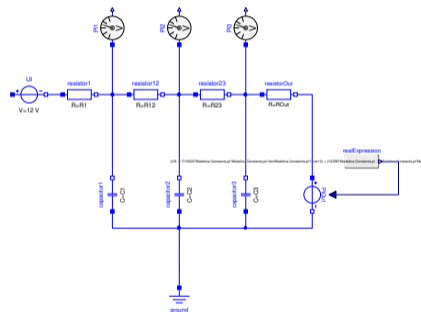


Figure 4: Circuit pour Dymola

## Équations de Darcy avec IBC

Équations décrivant le mouvement dans un milieu poreux.

Soit  $\Omega$  un ouvert borné de  $\mathbb{R}^d$ , avec  $d \in \{2, 3\}$ . On note  $\Gamma$  la frontière de  $\Omega$ , partitionnée en trois sous-ensembles disjoints :  $\Gamma_D$ ,  $\Gamma_N$  et  $\Gamma_I$ . Le problème à résoudre est : trouver  $\underline{j} \in H(\text{div}, \Omega)$  et  $p \in L^2(\Omega)$  tels que :

$$\underline{j} + \mathcal{K} \cdot \nabla p = 0 \quad \text{in } \Omega \quad (5a)$$

$$\partial_t p + \nabla \cdot \underline{j} = f \quad \text{in } \Omega \quad (5b)$$

## Équations de Darcy avec IBC

Équations décrivant le mouvement dans un milieu poreux.

Soit  $\Omega$  un ouvert borné de  $\mathbb{R}^d$ , avec  $d \in \{2, 3\}$ . On note  $\Gamma$  la frontière de  $\Omega$ , partitionnée en trois sous-ensembles disjoints :  $\Gamma_D$ ,  $\Gamma_N$  et  $\Gamma_I$ . Le problème à résoudre est : trouver  $\underline{j} \in H(\text{div}, \Omega)$  et  $p \in L^2(\Omega)$  tels que :

$$\underline{j} + \mathcal{K} \cdot \nabla p = 0 \quad \text{in } \Omega \quad (5a)$$

$$\partial_t p + \nabla \cdot \underline{j} = f \quad \text{in } \Omega \quad (5b)$$

avec ces conditions aux bords :

▶  $p = g_D$  sur  $\Gamma_D$

▶  $\underline{j} \cdot \underline{n} = g_N$  sur  $\Gamma_N$

▶  $\int_{\Gamma_I} \underline{j} \cdot \underline{n} = l_{\text{target}}$  sur  $\Gamma_I$

▶  $p(\underline{X}) = \rho$  sur  $\Gamma_I$

où  $l_{\text{target}}$  est une constante. La solution  $p$  est constante sur  $\Gamma_I$

# Test linéaire

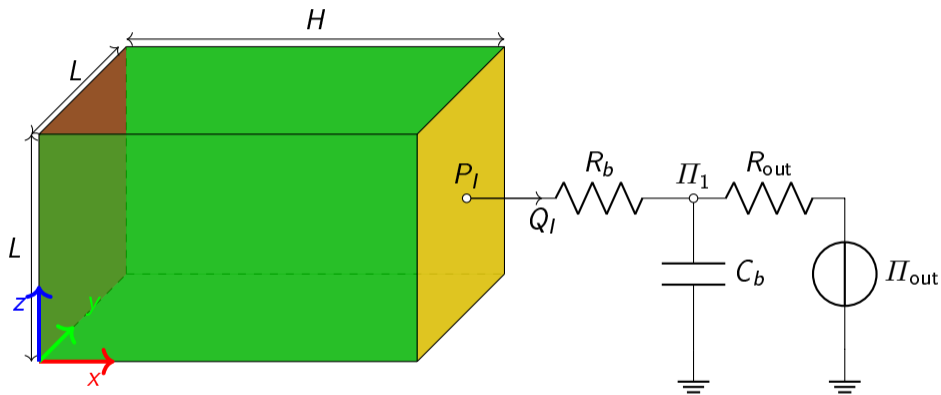


Figure 5: Simple 3D - 0D model

## Test linéaire

- ▶  $\Omega = \{X = (x, y, z) \in \mathbb{R}^3 \mid x \in [0, H] \text{ et } y, z \in [0, L], \}$
- ▶  $\Gamma_D = \Omega \cap \{x = 0\}$
- ▶  $\Gamma_I = \Omega \cap \{x = H\}$
- ▶  $\Gamma_N = \Omega \cap (\{y = 0\} \cup \{y = L\} \cup \{z = 0\} \cup \{z = L\})$

## Test linéaire

On pose  $p(\underline{X}, t) = \alpha + \beta x t$  for  $\underline{X} = (x, y, z) \in \Omega$  and  $t \geq 0$ , et  $\mathcal{K} = kl$ . L'équation de Darcy equation (see 5)

$$\frac{1}{M} \frac{\partial p}{\partial t} + \nabla \cdot \underline{j} = f \quad \underline{j} + k \nabla p = \underline{0} \quad (6)$$

donne :

$$\underline{j} = -k \begin{bmatrix} \beta t \\ 0 \\ 0 \end{bmatrix} \quad f = \beta x \quad (7)$$

## Test linéaire

Conditions aux bords :

► Sur  $\Gamma_N$ ,  $\underline{j} \cdot \underline{n} = 0$ , car  $\underline{n} = [0, 0, -1]^T$ ,  $[0, 1, 0]^T$ ,  $[0, 0, 1]^T$ ,  $[0, -1, 0]^T$  dépendant de la face de  $\Gamma_N$ ,

► Sur  $\Gamma_G$ ,  $p = \alpha$ ,

► Sur  $\Gamma_I$ ,  $\int_{\Gamma_I} \underline{j} \cdot \underline{n} = \int_{\Gamma_I} \begin{bmatrix} -\beta t \\ 0 \\ 0 \end{bmatrix} \cdot \begin{bmatrix} 1 \\ 0 \\ 0 \end{bmatrix} = -L^2 k \beta t =: Q_I$  ; et  $p|_{\Gamma_I} = \alpha + \beta H t =: U_I$

Comme  $Q_I(t) = \frac{U_I - \Pi_1}{R_b}$ , on obtient  $\Pi_1 = P_I - Q_I = \alpha + \beta(H + R_b L^2 k)t$ . Avec la loi de Kirchhoff sur le nœud  $\Pi_1$ , on trouve :

$$\Pi_{\text{out}} = \alpha + \beta [Ht + L^2 kt(R_b - R_{\text{out}}) - C_b R_{\text{out}}(H + R_b L^2 k)]$$



# Résultats de la toolbox Feel++

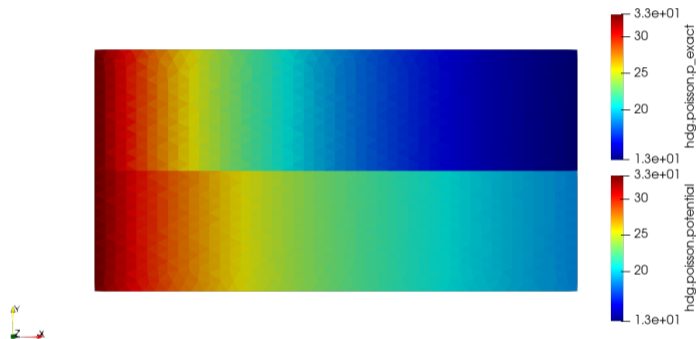


Figure 5: Comparaison du potentiel

# Discrétisation spatiale : Méthode HDG

# Hybridizable Discontinuous Galerkin<sup>4</sup>

## Definition

La méthode *HDG* est une méthode éléments finis où les espaces de fonctions considérés ne sont pas continus (d'un élément à l'autre).

- ▶ Cela implique un nombre de degrés de liberté plus grand que dans les méthodes EF usuelles
- ▶ On impose faiblement la continuité de la solution sur les bords des éléments du maillage

---

<sup>4</sup>[Silvia Bertoluzza et al.](#) "A HDG method for elliptic problems with integral boundary condition: Theory and Applications". 2021.

## Équation de Darcy (stationnaire pour simplifier)

On part de cette équation du second ordre :

$$-\nabla \cdot (\mathcal{K} \nabla p) = f \quad \text{sur } \Omega \quad (6)$$

On pose  $\underline{j} = -\mathcal{K} \nabla p$ , ce qui donne ce système d'équations :

## Équation de Darcy (stationnaire pour simplifier)

On part de cette équation du second ordre :

$$-\nabla \cdot (\mathcal{K} \nabla p) = f \quad \text{sur } \Omega \quad (6)$$

On pose  $\underline{j} = -\mathcal{K} \nabla p$ , ce qui donne ce système d'équations :

$$\begin{cases} \underline{j} + \mathcal{K} \nabla p = 0 & \text{sur } \Omega \\ \nabla \cdot \underline{j} = f & \text{sur } \Omega \end{cases} \quad (7)$$

d'inconnues  $p$  et  $\underline{j}$ .

## Formulation variationnelle

(en intégrant le système précédent, puis en faisant une intégration par parties)

Soit  $\bar{\varphi} \in H^{1/2}(\Omega)$  telle que  $\bar{\varphi}|_{\Gamma_D} = 0$  et  $\bar{\varphi}|_{\Gamma_I} = 1$ .

On considère le problème variationnel suivant :

trouver  $\underline{j} \in H(\text{div}, \Omega)$ ,  $p \in L^2(\Omega)$  et  $\hat{p} \in \text{span} \langle \bar{\varphi} \rangle \oplus H_{00}^{1/2}(\Gamma_N)$ , tel que  $\forall \underline{v} \in H(\text{div}, \Omega)$ ,  $w \in L^2(\Omega)$  et  $\mu \in \text{span} \langle \bar{\varphi} \rangle \oplus H_{00}^{1/2}(\Gamma_N)$ , on ait :

$$(\mathcal{K}^{-1} \underline{j}, \underline{v})_{\Omega} - (p, \nabla \cdot \underline{v})_{\Omega} + \langle \hat{p}, \underline{v} \cdot \underline{n} \rangle_{\Gamma} = 0$$

$$(\nabla \cdot \underline{j}, w)_{\Omega} = (f, w)_{\Omega}$$

$$\langle \underline{j} \cdot \underline{n}, \mu \rangle_{\Gamma_N \cup \Gamma_I} = \langle g_N, \mu \rangle_{\Gamma_N} + l_{\text{target}} |\Gamma_I|^{-1} \langle \mu, 1 \rangle_{\Gamma_I}$$

$$\langle \hat{p}, \mu \rangle_{\Gamma_D} = \langle g_D, \mu \rangle_{\Gamma_D}$$

## Espaces de fonctions

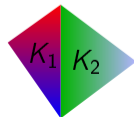
On introduit ces espaces de fonctions :

$$\blacktriangleright \underline{V}_h = \prod_{K \in \mathcal{T}_h} \underline{V}(K)$$

$$\blacktriangleright W_h = \prod_{K \in \mathcal{T}_h} W(K)$$

avec  $\underline{V}_k(K) = (\mathbb{P}_k(K))^d$  et  $W_k(K) = \mathbb{P}_k(K)$

On voit que les fonctions de  $\underline{V}_h$  et  $W_h$  ne sont pas forcément continues d'un élément à l'autre.

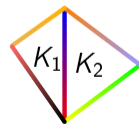


## Espaces de fonctions

On introduit ces espaces de fonctions :

- ▶  $\tilde{M}_h = \left\{ \mu \in L^2(\mathcal{F}_h) \mid \mu|_F \in \mathbb{P}_k(F) \forall F \in \mathcal{F}_h^0 \cup \mathcal{F}_h^{\Gamma_N}, \mu|_{\Gamma_D \cup \Gamma_I} = 0 \right\}$
- ▶  $M_h^* = \left\{ \mu \in L^2(\mathcal{F}_h) \mid \mu|_{\Gamma_I} \in \mathbb{R} \text{ (}\mu \text{ est constant)}, \mu|_{\mathcal{F}_h \setminus \Gamma_I} = 0 \right\}$  (on a  $\dim M_h^* = 1$ )
- ▶  $M_h = M_h^* \oplus \tilde{M}_h$

Les fonctions de  $M_h$  sont discontinues sur les sommets de  $\mathcal{F}_h \setminus \mathcal{F}_h^{\Gamma_I}$ , et univaluées sur les arêtes.



Ces fonctions servent de connecteur entre les éléments adjacents.



## Formulation variationnelle discrète

On définit le *flux numérique normal* sur  $\partial K$  par :

$$\widehat{j}_K^{\partial K} \cdot \underline{n}_{\partial K} = \underline{j}_h^K|_{\partial K} \cdot \underline{n}_{\partial K} + \tau_{\partial K} \left( p_h^K|_{\partial K} - \widehat{p}_h|_{\partial K} \right)$$

( $\tau_{\partial K} \geq 0$  paramètre de stabilisation, qui peut dépendre de la face  $F \in \partial K$ )

Trouver  $\underline{j}_h \in \underline{V}_h$ ,  $p_h \in W_h$  et  $\widehat{p}_h \in M_h$  tels que  $\forall \underline{v}_h \in \underline{V}_h, \forall w_h \in W_h, \forall \mu_h \in M_h$  :

$$\sum_{K \in \mathcal{T}_h} \left[ \left( \mathcal{K}^{-1} \underline{j}_h^K, \underline{v}_h^K \right)_K - \left( p_h^K, \nabla \cdot \underline{v}_h^K \right)_K + \left\langle \widehat{p}_h^{\partial K}, \underline{v}_h^K \cdot \underline{n}_{\partial K} \right\rangle_{\partial K} \right] = 0$$

$$\sum_{K \in \mathcal{T}_h} \left[ - \left( \underline{j}_h^K, \nabla w_h^K \right)_K + \left\langle \widehat{j}_h^{\partial K} \cdot \underline{n}_{\partial K}, w_h^K \right\rangle_{\partial K} \right] = \sum_{K \in \mathcal{T}_h} \left( f, w_h^K \right)_K$$

$$\sum_{K \in \mathcal{T}_h} \left\langle \widehat{j}_h^{\partial K} \cdot \underline{n}_{\partial K}, \mu_h \right\rangle_{\partial K} = \langle g_N, \mu_h \rangle_{\Gamma_N} + l_{\text{target}} \frac{1}{|\Gamma_I|} \langle \mu_h, 1 \rangle_{\Gamma_I}$$

## Stratégie de résolution

- ▶  $\underline{j}_h$  et  $p_h$  sont les approximations de  $\underline{j}$  et  $p$  à l'intérieur des éléments  $K \in \mathcal{T}_h$ , et  $\widehat{p}_h^K$  est l'approximation de la trace de  $p_h$  sur les faces de  $\mathcal{F}_h$
- ▶ *Condensation statique* : les équations discrètes sont vraies à l'intérieur de chaque  $K \in \mathcal{T}_h$  et peuvent être résolues sur chaque  $K$  pour éliminer  $\underline{j}_h^K$  et  $p_h^K$  en faveur de  $\widehat{p}_h^{\partial K}$ .
- ▶ En combinant cette procédure à la définition du flux numérique normal  $\widehat{\underline{j}}_h^{\partial K}$ , on peut exprimer  $\widehat{\underline{j}}_h^{\partial K}$  en fonction de  $\widehat{p}_h^{\partial K}$  uniquement.

# Discrétisation temporelle : Méthode de splitting

## Algorithme de splitting

- ▶ Un couplage 3D – 0D peut introduire des instabilités numériques
- ▶ On va étudier l'opérateur de splitting<sup>5</sup>
  - ▶ La différence d'échelle ne va poser aucun problème
  - ▶ La formulation HDG supporte la condition intégrale au bord (IBC) sans aucune sous-itération
- ▶ On aura un couplage naturel entre le modèle 3D et le modèle 0D.

---

<sup>5</sup>Silvia Bertoluzza et al. “A HDG method for elliptic problems with integral boundary condition: Theory and Applications”. 2021.

## Opérateur splitting

- ▶ Semi-discrétisation en temps pour maintenir la flexibilité lors de l'application de la méthode HDG dans le problème temporel
- ▶ On pose  $t^n = n\Delta t$  pour  $n \leq 0$ , et on note  $\varphi^n$  la valeur de  $\varphi(t^n)$ .

À partir de  $p^n$  et  $\underline{\Pi}^n$ , pour passer de  $t^n$  à  $t^{n+1}$ , on résoud deux étapes :

## Opérateur splitting : Étape 1

Trouver  $\underline{j}$ ,  $p$  et  $\underline{\Pi}$  tels que :

$$\underline{j} + k_p \nabla p = \underline{0} \quad \text{dans } \Omega \times ]t^n, t^{n+1}[ \quad (8a)$$

$$\frac{\partial p}{\partial t} + \nabla \cdot \underline{j} = f \quad \text{dans } \Omega \times ]t^n, t^{n+1}[ \quad (8b)$$

$$\frac{d\underline{\Pi}}{dt} = \underline{b} \quad \text{dans } \Omega \times ]t^n, t^{n+1}[ \quad (8c)$$

avec les conditions aux bords  $p = p_{\text{hole}}$  sur  $\Sigma_{\text{hole}}$  et  $\underline{j} \cdot \underline{n} = 0$  sur  $\Sigma_{\text{top}} \cup \Sigma_{\text{bottom}}$  ;

les conditions à l'interface  $\int_{\Sigma_{\text{lateral}}} \underline{j} \cdot \underline{n} = Q_I$ ,  $p$  est constant sur  $\Sigma_{\text{lateral}}$  et  $U_I = p$  sur

$\Sigma_{\text{lateral}}$

et les conditions initiales  $p(t^n) = p^n$ ,  $\underline{\Pi}(t^n) = \underline{\Pi}^n$ .

On pose alors  $p^{n+\frac{1}{2}} = p(t^{n+1})$ ,  $\underline{\Pi}^{n+\frac{1}{2}} = \underline{\Pi}(t^{n+1})$  et  $\underline{j}^{n+\frac{1}{2}} = \underline{j}(t^{n+1})$ .

## Opérateur splitting : Étape 2

Trouver  $p$  et  $\underline{\Pi}$  tels que :

$$\frac{\partial p}{\partial t} = 0 \quad \text{dans } \Omega \times ]t^n, t^{n+1}[ \quad (8a)$$

$$\frac{d\underline{\Pi}}{dt} = \underline{A}\underline{\Pi} + \underline{s} \quad \text{dans } ]t, t^{n+1}[ \quad (8b)$$

avec les conditions initiales  $p(t^n) = p^{n+\frac{1}{2}}$  et  $\underline{\Pi}(t^n) = \underline{\Pi}^{n+\frac{1}{2}}$ .

On pose alors  $p^{n+1} = p(t^{n+1})$ ,  $\underline{\Pi}^{n+1} = \underline{\Pi}(t^{n+1})$  et  $\underline{j}^{n+1} = \underline{j}(t^{n+1})$ .

# Stabilité

## Théorème : stabilité<sup>6</sup>

On considère le modèle de couplage 3D – 0D, auquel on ajoute certaines hypothèses. Alors l'algorithme donné par les étapes 1 et 2 est inconditionnellement stable.

**Idée de preuve :** Si  $\mathcal{E}_1^n$  désigne l'énergie totale du système à l'étape 1 au temps  $t^n$  (idem  $\mathcal{E}_2^n$ ), alors on montre :

$$1. \mathcal{E}_1^{n+\frac{1}{2}} \leq \mathcal{E}_1^n$$

$$2. \mathcal{E}_2^{n+1} \leq \mathcal{E}_2^{n+\frac{1}{2}}$$

3. Comme la condition initiale de l'étape 2 coïncide avec la solution finale de l'étape 1, il en résulte que :  $\mathcal{E}_2^{n+1} \leq \mathcal{E}_1^{n+\frac{1}{2}} = \mathcal{E}_2^{n+\frac{1}{2}} \leq \mathcal{E}_1^n$

D'où la stabilité inconditionnelle.

<sup>6</sup>Lorenzo Sala. "Mathematical modelling and simulation of ocular blood flows and their interactions". Theses. Université de Strasbourg, Sept. 2019. URL: <https://tel.archives-ouvertes.fr/tel-02284233>.



## Ordre de convergence<sup>7</sup>

### Ordre de convergence

Cet algorithme converge à l'ordre 1 en temps.

### Algorithme d'ordre 2

Il est possible d'obtenir un algorithme d'ordre 2 en temps, en utilisant une forte symétrisation et en utilisant des algorithmes de discrétisation d'ordre au moins 2 en temps

---

<sup>7</sup>Roland Glowinski. "Finite element methods for incompressible viscous flow". In: *Numerical Methods for Fluids (Part 3)*. Vol. 9. Handbook of Numerical Analysis. Elsevier, 2003, pp. 3–1176. DOI: [https://doi.org/10.1016/S1570-8659\(03\)09003-3](https://doi.org/10.1016/S1570-8659(03)09003-3). URL: <https://www.sciencedirect.com/science/article/pii/S1570865903090033>.

# Reduced Order Methods

## Modèle thermique : thermal fin

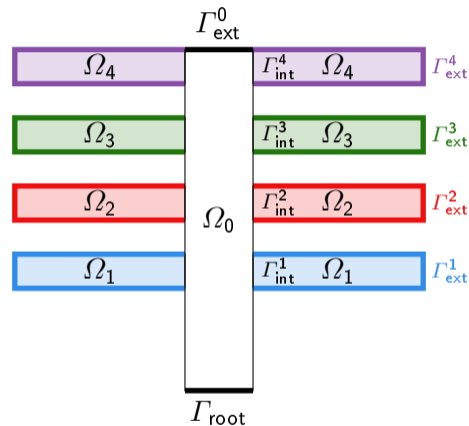


Figure 6: Géométrie du thermal fin

## Modèle thermique : thermal fin

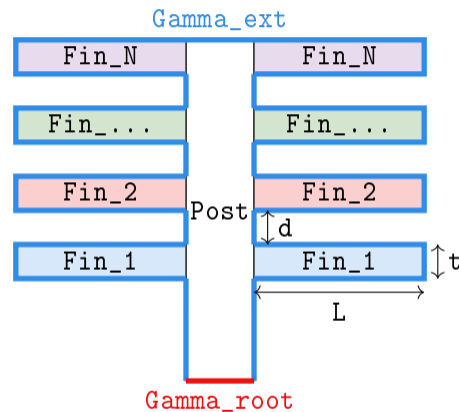
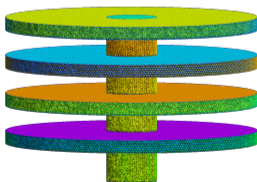
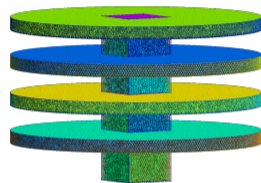
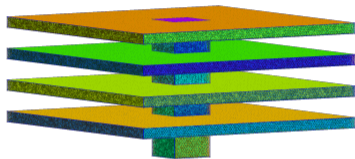


Figure 6: Géométrie avec différents paramètres

## Modèle thermique : thermal fin

Génération automatique des fichiers de configuration Feel++ avec *liquid*



## Empirical Interpolation Method

- ▶ On cherche à résoudre un problème du type : *Trouver*  $u(\underline{\mu}) \in V$  *tel que*  $\forall v \in V$ ,  $a(u(\underline{\mu}), v) = f(v, \underline{\mu})$ , avec le paramètre  $\underline{\mu} \in D \subset \mathbb{R}^d$ .

---

<sup>8</sup>Romain Hild. “Optimization and control of high fields magnets”. *Theses. Université de Strasbourg*, Nov. 2020. URL: <https://tel.archives-ouvertes.fr/tel-03025312>.

## Empirical Interpolation Method

- ▶ On cherche à résoudre un problème du type : *Trouver*  $u(\underline{\mu}) \in V$  *tel que*  $\forall v \in V$ ,  $a(u(\underline{\mu}), v) = f(v, \underline{\mu})$ , avec le paramètre  $\underline{\mu} \in D \subset \mathbb{R}^d$ .

- ▶ On décompose  $a(u, v; \underline{\mu}) = \sum_{q=0}^Q \theta^q(\underline{\mu}) a^q(u, v)$ , avec  $\theta^q$  en fonction du paramètre  $\underline{\mu}$ , et  $a^q$  indépendant de  $\underline{\mu}$ . Mais cette décomposition n'est pas tout le temps possible.

---

<sup>8</sup>Romain Hild. “Optimization and control of high fields magnets”. *Theses. Université de Strasbourg*, Nov. 2020. URL: <https://tel.archives-ouvertes.fr/tel-03025312>.

## Empirical Interpolation Method

- ▶ On cherche à résoudre un problème du type : *Trouver*  $u(\underline{\mu}) \in V$  tel que  $\forall v \in V$ ,  $a(u(\underline{\mu}), v) = f(v, \underline{\mu})$ , avec le paramètre  $\underline{\mu} \in D \subset \mathbb{R}^d$ .
- ▶ On décompose  $a(u, v; \underline{\mu}) = \sum_{q=0}^Q \theta^q(\underline{\mu}) a^q(u, v)$ , avec  $\theta^q$  en fonction du paramètre  $\underline{\mu}$ , et  $a^q$  indépendant de  $\underline{\mu}$ . Mais cette décomposition n'est pas tout le temps possible.
- ▶ On peut utiliser la *Empirical Interpolation Method* (EIM)<sup>8</sup>, qui consiste à approximer une fonction paramétrisée par une somme de termes affines :

$$g(x, \underline{\mu}) \approx g^M(x, \underline{\mu}) = \sum_{m=1}^M \theta_{g, M}^m(\underline{\mu}) q_m(x) \quad (9)$$

<sup>8</sup>Romain Hild. "Optimization and control of high fields magnets". *Theses. Université de Strasbourg*, Nov. 2020. URL: <https://tel.archives-ouvertes.fr/tel-03025312>.



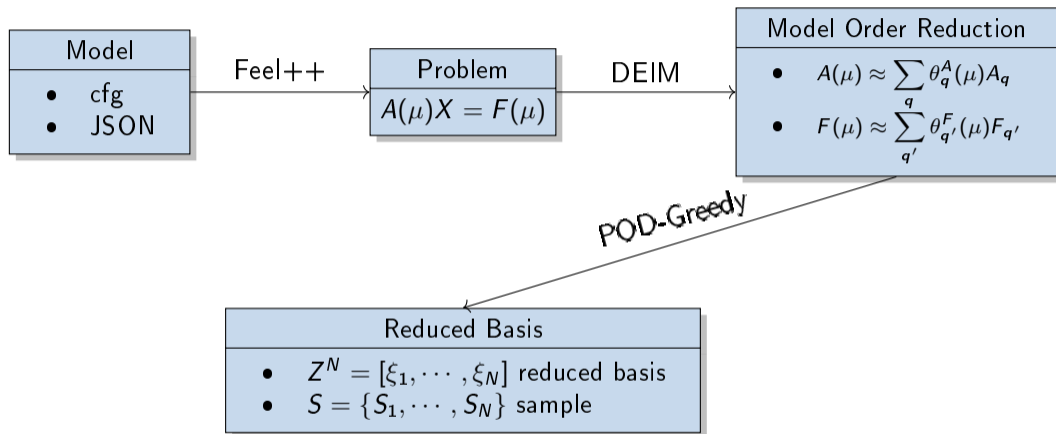


Figure 6: Pipeline for Model Order Reduction

## *A posteriori* error estimation

- ▶ On a ces décompositions :

$$A(\underline{\mu}) = \sum_{q=1}^{Q_a} \beta_A^q A^q \quad F(\underline{\mu}) = \sum_{p=1}^{Q_f} \beta_F^p F^p \quad (10)$$

## *A posteriori* error estimation

- ▶ On a ces décompositions :

$$A(\underline{\mu}) = \sum_{q=1}^{Q_a} \beta_A^q A^q \quad F(\underline{\mu}) = \sum_{p=1}^{Q_f} \beta_F^p F^p \quad (10)$$

- ▶ L'erreur vérifie :

$$(\hat{e}(\underline{\mu}), v)_X = \sum_p \beta_F^p(\underline{\mu}) f^p(v) - \sum_q \sum_n \beta_A^q(\underline{\mu}) u_N^n(\underline{\mu}) a^q(\xi^n, v) \quad \forall v \in X \quad (11)$$

## *A posteriori* error estimation

- ▶ On a ces décompositions :

$$A(\underline{\mu}) = \sum_{q=1}^{Q_a} \beta_A^q A^q \quad F(\underline{\mu}) = \sum_{p=1}^{Q_f} \beta_F^p F^p \quad (10)$$

- ▶ L'erreur vérifie :

$$(\widehat{e}(\underline{\mu}), v)_X = \sum_p \beta_F^p(\underline{\mu}) f^p(v) - \sum_q \sum_n \beta_A^q(\underline{\mu}) u_N^n(\underline{\mu}) a^q(\xi^n, v) \quad \forall v \in X \quad (11)$$

- ▶ Donc :

$$\begin{aligned} \|\widehat{e}(\underline{\mu})\|_X^2 &= \sum_p \sum_{p'} \beta_F^p \beta_F^{p'} (S^p, S^{p'})_X + 2 \sum_p \sum_q \sum_n \beta_F^p \beta_A^q u_N^n (S^p, \mathcal{L}^{n,q})_X \\ &+ \sum_q \sum_n \sum_{q'} \sum_{n'} \beta_A^q \beta_A^{q'} u_N^n u_N^{n'} (\mathcal{L}^{n',q'}, \mathcal{L}^{n,q})_X \end{aligned} \quad (12)$$

# Algorithme Greedy

---

## Algorithme 1 : Greedy algorithm

---

**Input :**  $\mu_0 \in D$  et  $\Xi_{\text{train}} \subset D$

$S \leftarrow [\mu_0]$

**tant que**  $\Delta_N^{\max} > \varepsilon$  **faire**

$u(\mu^*) \leftarrow$  solution FE solution, avec  $S$  comme échantillon pour générer les BR

$W_N \leftarrow \{\xi = u(\mu^*)\} \cup W_{N-1}$

$\mu^* \leftarrow \arg \max_{\mu \in \Xi_{\text{train}}} \Delta_N(\mu)$  (and  $\Delta_N^{\max} \leftarrow \max_{\mu \in \Xi_{\text{train}}} \Delta_N(\mu)$ )

Ajouter  $\mu^*$  to  $S$

**fin**

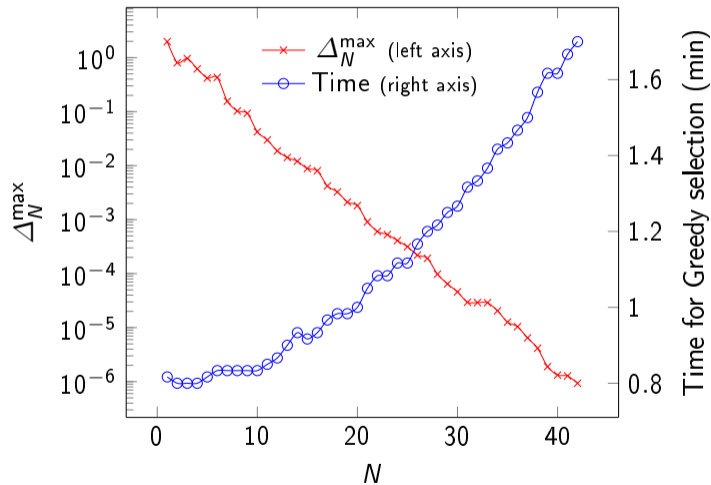
**Output :** sample  $S$ , base réduite  $W$

---

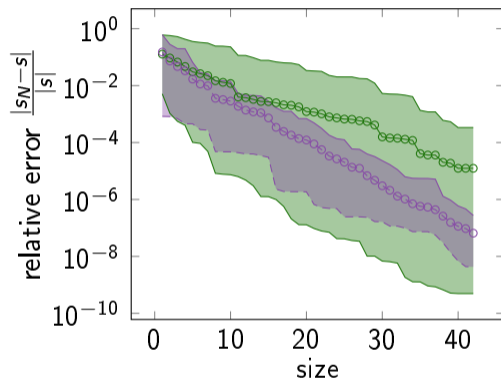
## Aspects d'implémentation

- ▶ Utilisation des vecteurs et matrices PETSc pour les calculs offline, utilisés dans Feel++.
- ▶ Modules PETSc4Py pour utiliser ces objets dans Python.
- ▶ Module NumPy pour les calculs online.

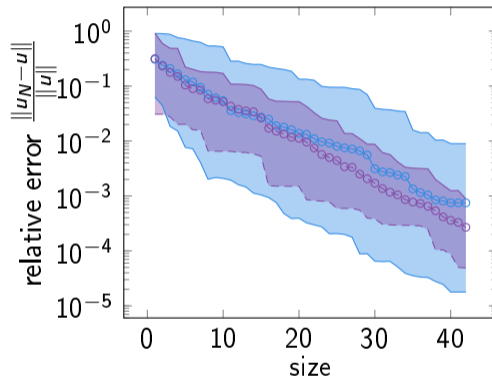
## Résultats : Temps d'exécution



## Résultats : Erreurs relatives



— Random sample  
— Greedy sample



— Random sample  
— Greedy sample







## Conclusion et perspectives

- ▶ Analyse de sensibilité à partir des modèles réduits pour calculer les indices de Sobol
- ▶ Un travail similaire a déjà été réalisé sur el modèle 0D, sans utiliser de bases réduites<sup>9</sup>
- ▶ Exemple de paramètres :
  - ▶ Physiologiques : pression sanguine, propriété physique des tissus
  - ▶ Géométrique : taille des certaines parties, forme générale de l'œil
- ▶ Le but est de mettre en place des modèle plus précis et plus efficaces




---

<sup>9</sup>Christophe Prud'homme, Lorenzo Sala, and Marcela Szopos. "Uncertainty propagation and sensitivity analysis: results from the Ocular Mathematical Virtual Simulator". In: *Mathematical Biosciences and Engineering* 18.3 (2021), pp. 2010–2032. ISSN: 1551-0018. DOI: [10.3934/mbe.2021105](https://doi.org/10.3934/mbe.2021105).

## Bibliography I

-  Silvia Bertoluzza et al. “A HDG method for elliptic problems with integral boundary condition: Theory and Applications”. 2021.
-  Lilian Cheraifi. Private Communication. 2021.
-  Roland Glowinski. “Finite element methods for incompressible viscous flow”. In: *Numerical Methods for Fluids (Part 3)*. Vol. 9. Handbook of Numerical Analysis. Elsevier, 2003, pp. 3–1176. DOI: [https://doi.org/10.1016/S1570-8659\(03\)09003-3](https://doi.org/10.1016/S1570-8659(03)09003-3). URL: <https://www.sciencedirect.com/science/article/pii/S1570865903090033>.
-  Romain Hild. “Optimization and control of high fields magnets”. *Theses*. Université de Strasbourg, Nov. 2020. URL: <https://tel.archives-ouvertes.fr/tel-03025312>.

## Bibliography II

-  Ean-Hin Ooi and Eddie Yin-Kwee Ng. “Simulation of aqueous humor hydrodynamics in human eye heat transfer”. In: *Computers in Biology and Medicine* 38.2 (2008), pp. 252–262.
-  Daniele Prada et al. “Autoregulation and neurovascular coupling in the optic nerve head”. In: *Survey of Ophthalmology* 61.2 (2016), pp. 164–186. ISSN: 0039-6257. DOI: <https://doi.org/10.1016/j.survophthal.2015.10.004>. URL: <https://www.sciencedirect.com/science/article/pii/S0039625715001824>.
-  Christophe Prud'homme, Lorenzo Sala, and Marcela Szopos. “Uncertainty propagation and sensitivity analysis: results from the Ocular Mathematical Virtual Simulator”. In: *Mathematical Biosciences and Engineering* 18.3 (2021), pp. 2010–2032. ISSN: 1551-0018. DOI: 10.3934/mbe.2021105.

## Bibliography III



Lorenzo Sala. “Mathematical modelling and simulation of ocular blood flows and their interactions”. *Theses*. Université de Strasbourg, Sept. 2019. URL: <https://tel.archives-ouvertes.fr/tel-02284233>.